

КОНФЕРЕНЦИИ И СИМПОЗИУМЫ

К 100-ЛЕТИЮ СО ДНЯ РОЖДЕНИЯ И.Я. ПОМЕРАНЧУКА

Гравитационное четырёхфермионное взаимодействие в ранней Вселенной

А.С. Руденко, И.Б. Хриплович

Если кручение существует, то оно порождает гравитационное четырёхфермионное взаимодействие ($\Gamma\text{ЧФВ}$), проявляющееся на планковском масштабе. Исследуется влияние этого взаимодействия на космологию Фридмана–Леметра–Робертсона–Уокера. Получено явное аналитическое решение задачи, в которой учитываются как тензор энергии-импульса, генерируемый $\Gamma\text{ЧФВ}$, так и обычный ультрарелятивистский тензор энергии-импульса. Показано, что гравитационное четырёхфермионное взаимодействие не приводит к Большому отскоку.

PACS numbers: 04.20.–q, 04.62.+v, 98.80.–k

DOI: 10.3367/UFNr.0184.201402f.0177

Содержание

1. Введение (177).
 2. Тензор энергии-импульса (177).
 3. Уравнения Фридмана–Леметра–Робертсона–Уокера (179).
 4. Решения и выводы (179).
- Список литературы (181).

1. Введение

Согласно общепринятым представлениям, нынешнее расширение Вселенной — это результат Большого взрыва. Достаточно популярна идея, по которой этому расширению предшествовало сжатие с последующим Большим отскоком. Мы исследуем предположение о том, что Большой отскок возникает благодаря гравитационному четырёхфермионному взаимодействию.

Наблюдение, согласно которому взаимодействие фермионов с гравитацией приводит в присутствии кручения (нераспространяющегося) к гравитационному четырёхфермионному взаимодействию аксиальных токов, восходит, по крайней мере, к [1, 2].

Наиболее общая форма гравитационного четырёхфермионного взаимодействия такова:

$$S_{ff} = \frac{3\pi G\gamma^2}{2(\gamma^2 + 1)} \int d^4x \sqrt{-g} \eta_{IJ} \left[\left(1 - \beta^2 + \frac{2\beta}{\gamma} \right) A^I A^J - 2\alpha \left(\beta - \frac{1}{\gamma} \right) V^I A^J - \alpha^2 V^I V^J \right]. \quad (1)$$

А.С. Руденко, И.Б. Хриплович. Институт ядерной физики им. Г.И. Будкера СО РАН,
просп. Академика Лаврентьева 11, 630090 Новосибирск,
Российская Федерация;
Новосибирский государственный университет,
ул. Пирогова 2, 630090 Новосибирск, Российская Федерация
E-mail: a.s.rudenko@inp.nsk.su, khriplovich@inp.nsk.su
Статья поступила 23 ноября 2013 г.

Здесь и ниже G — ньютоновская гравитационная постоянная, g — детерминант метрического тензора, A^I и V^I — полные аксиальный и векторный нейтральные токи соответственно,

$$\begin{aligned} A^I &= \sum_a A_a^I = \sum_a \bar{\psi}_a \gamma^5 \gamma^I \psi_a, \\ V^I &= \sum_a V_a^I = \sum_a \bar{\psi}_a \gamma^I \psi_a, \end{aligned} \quad (2)$$

сумма по a в (2) распространяется на все возможные виды элементарных фермионов со спином $1/2$; α , β , γ — параметры задачи. Численные значения α , β неизвестны. Что касается так называемого параметра Барбера–Иммираци γ , мы принимаем для него значение $\gamma = 0,274$ [3]. Однако точные численные значения этих параметров не очень существенны для нашей задачи.

Вклад AA в выражение (1) соответствует (с точностью до множителя) действию, полученному давно в работах [1, 2]. Затем этот вклад был найден в пределе $\beta \rightarrow 0$, $\gamma \rightarrow \infty$ в [4]. Нынешняя форма AA -взаимодействия, приведенная в (1), была получена в [5, 6]. Слагаемые VV и VA в (1) были найдены в [7] и [6, 7] соответственно.

Простые размерностные соображения показывают, что взаимодействие (1), пропорциональное ньютоновской постоянной G и квадрату плотности числа частиц n^2 , могло бы быть существенным и сравнимым с обычными взаимодействиями только при самых высоких плотностях, т.е. на планковском масштабе.

Достаточно подробные обзоры работ, в которых обсуждается гравитационное четырёхфермионное взаимодействие в связи с космологией, можно найти в [6, 8, 9].

2. Тензор энергии-импульса

Тензор энергии-импульса (ТЭИ) $T_{\mu\nu}^{ff}$, генерируемый действием (1), таков:

$$T_{\mu\nu}^{\text{ff}} = -\frac{3\pi}{2} G \frac{\gamma^2}{\gamma^2 + 1} g_{\mu\nu} \eta_{IJ} \left[\left(1 - \beta^2 + \frac{2\beta}{\gamma} \right) A^I A^J - 2\alpha \left(\beta - \frac{1}{\gamma} \right) V^I A^J - \alpha^2 V^I V^J \right]. \quad (3)$$

Неисчезающие компоненты выражения (3), записанного в локально-инерциальной системе, — это плотность энергии $T_{00}^{\text{ff}} = \rho_{\text{ff}}$ и давление $T_{11}^{\text{ff}} = T_{22}^{\text{ff}} = T_{33}^{\text{ff}} = p_{\text{ff}}$ (они снабжены здесь и ниже индексом ff, указывающим на их происхождение от четырёхфермионного взаимодействия; относительно соответствия между ρ , p и компонентами тензора энергии-импульса см. [10, § 35]).

Проанализируем выражения для ρ_{ff} и p_{ff} в случае взаимодействия двух ультрапрелиativистских фермионов (с индексами a и b) в локально-инерциальной системе их центра масс (мы следуем здесь работе [11]). Аксиальный и векторный токи фермиона a таковы:

$$\begin{aligned} A_a^I &= \frac{1}{4E^2} \phi_a^\dagger \{ E \boldsymbol{\sigma}_a (\mathbf{p}' + \mathbf{p}), (E^2 - \mathbf{p}' \cdot \mathbf{p}) \boldsymbol{\sigma}_a + \mathbf{p}' (\boldsymbol{\sigma}_a \mathbf{p}) + \\ &+ \mathbf{p} (\boldsymbol{\sigma}_a \mathbf{p}') - i \mathbf{p}' \times \mathbf{p} \} \phi_a = \frac{1}{4} \phi_a^\dagger \{ \boldsymbol{\sigma}_a (\mathbf{n}' + \mathbf{n}), (1 - \mathbf{n}' \cdot \mathbf{n}) \times \\ &\times \boldsymbol{\sigma}_a + \mathbf{n}' (\boldsymbol{\sigma}_a \mathbf{n}) + \mathbf{n} (\boldsymbol{\sigma}_a \mathbf{n}') - i \mathbf{n}' \times \mathbf{n} \} \phi_a, \end{aligned} \quad (4)$$

$$\begin{aligned} V_a^I &= \frac{1}{4E^2} \phi_a^\dagger \{ E^2 + \mathbf{p}' \cdot \mathbf{p} + i \boldsymbol{\sigma}_a [\mathbf{p}' \times \mathbf{p}], E (\mathbf{p}' + \mathbf{p} - i \boldsymbol{\sigma}_a \times \\ &\times (\mathbf{p}' - \mathbf{p})) \} \phi_a = \frac{1}{4} \phi_a^\dagger \{ 1 + \mathbf{n}' \cdot \mathbf{n} + i \boldsymbol{\sigma}_a [\mathbf{n}' \times \mathbf{n}], \mathbf{n}' + \mathbf{n} - \\ &- i \boldsymbol{\sigma}_a \times (\mathbf{n}' - \mathbf{n}) \} \phi_a. \end{aligned} \quad (5)$$

Здесь E — энергия фермиона a , ϕ_a — двухкомпонентный спинор, \mathbf{n} и \mathbf{n}' — орты начального и конечного импульсов \mathbf{p} и \mathbf{p}' соответственно; в обсуждаемых экстремальных условиях массами всех фермионов можно пренебречь. В системе центра масс аксиальный и векторный токи фермиона b получаются из этих выражений заменой знаков: $\mathbf{n} \rightarrow -\mathbf{n}$, $\mathbf{n}' \rightarrow -\mathbf{n}'$. Затем после усреднения по направлениям \mathbf{n} и \mathbf{n}' мы приходим к следующим квазиклассическим выражениям для неисчезающих компонент тензора энергии-импульса, т.е. для плотности энергии ρ_{ff} и давления p_{ff} :

$$\begin{aligned} \rho_{\text{ff}} = T_{00} &= -\frac{\pi}{48} G \frac{\gamma^2}{\gamma^2 + 1} \sum_{a,b} n_a n_b \left[\left(1 - \beta^2 + \frac{2\beta}{\gamma} \right) \times \right. \\ &\times (3 - 11 \langle \boldsymbol{\sigma}_a \boldsymbol{\sigma}_b \rangle) - \alpha^2 (60 - 28 \langle \boldsymbol{\sigma}_a \boldsymbol{\sigma}_b \rangle) \left. \right] = \\ &= -\frac{\pi}{48} G \frac{\gamma^2}{\gamma^2 + 1} n^2 \left[\left(1 - \beta^2 + \frac{2\beta}{\gamma} \right) \times \right. \\ &\times (3 - 11 \zeta) - \alpha^2 (60 - 28 \zeta) \left. \right], \end{aligned} \quad (6)$$

$$\begin{aligned} p_{\text{ff}} = T_{11} = T_{22} = T_{33} &= \frac{\pi}{48} G \frac{\gamma^2}{\gamma^2 + 1} \sum_{a,b} n_a n_b \times \\ &\times \left[\left(1 - \beta^2 + \frac{2\beta}{\gamma} \right) (3 - 11 \langle \boldsymbol{\sigma}_a \boldsymbol{\sigma}_b \rangle) - \alpha^2 (60 - 28 \langle \boldsymbol{\sigma}_a \boldsymbol{\sigma}_b \rangle) \right] = \\ &= \frac{\pi}{48} G \frac{\gamma^2}{\gamma^2 + 1} n^2 \left[\left(1 - \beta^2 + \frac{2\beta}{\gamma} \right) \times \right. \\ &\times (3 - 11 \zeta) - \alpha^2 (60 - 28 \zeta) \left. \right]. \end{aligned} \quad (7)$$

Здесь и ниже n_a и n_b — плотности числа частиц для соответствующих сортов фермионов и антифермионов, $n = \sum_a n_a$ — полная суммарная плотность фермионов и антифермионов, суммирование $\sum_{a,b}$ распространяется на все сорта фермионов и антифермионов; $\zeta = \langle \boldsymbol{\sigma}_a \boldsymbol{\sigma}_b \rangle$ — среднее значение произведения соответствующих $\boldsymbol{\sigma}$ -матриц, предположительно универсальное для любых $a \neq b$. Поскольку число сортов фермионов и антифермионов велико, здесь можно пренебречь по численным причинам вкладом обменных и аннигиляционных диаграмм, а также воспользоваться тем обстоятельством, что если $\boldsymbol{\sigma}_a$ и $\boldsymbol{\sigma}_b$ относятся к одной и той же частице, то $\langle \boldsymbol{\sigma}_a \boldsymbol{\sigma}_b \rangle = 3$. Вполне естественно, что после усреднения по ориентациям всех импульсов P -нечётные вклады VA в ρ_{ff} и p_{ff} обращаются в нуль.

Возникающее в результате уравнение состояния таково:

$$\rho_{\text{ff}} = -p_{\text{ff}} = -\frac{\pi}{48} G \frac{\gamma^2}{\gamma^2 + 1} n^2 \times \\ \times \left[\left(1 - \beta^2 + \frac{2\beta}{\gamma} \right) (3 - 11 \zeta) - \alpha^2 (60 - 28 \zeta) \right]. \quad (8)$$

Четырёхфермионную плотность энергии (8) удобно представить в виде

$$\rho_{\text{ff}} = \varepsilon G n^2, \quad \varepsilon = -\frac{\pi}{48} \frac{\gamma^2}{\gamma^2 + 1} \times \\ \times \left[\left(1 - \beta^2 + \frac{2\beta}{\gamma} \right) (3 - 11 \zeta) - \alpha^2 (60 - 28 \zeta) \right]. \quad (9)$$

Параметр $\zeta = \langle \boldsymbol{\sigma}_a \boldsymbol{\sigma}_b \rangle$ для $a \neq b$, просто по своему физическому смыслу, может в принципе изменяться в интервале от 0 (что соответствует полной температурной некогерентности или антиферромагнитному упорядочению) до 1 (что соответствует полному ферромагнитному упорядочению). Соответственно, ε изменяется от

$$\varepsilon = -\frac{\pi}{16} \frac{\gamma^2}{\gamma^2 + 1} \left(1 - \beta^2 + \frac{2\beta}{\gamma} - 20\alpha^2 \right) \text{ при } \zeta = 0 \quad (10)$$

до

$$\varepsilon = \frac{\pi}{6} \frac{\gamma^2}{\gamma^2 + 1} \left(1 - \beta^2 + \frac{2\beta}{\gamma} + 4\alpha^2 \right) \text{ при } \zeta = 1. \quad (11)$$

Для последующего анализа абсолютное численное значение параметра ε несущественно. Однако его знак, который важен для физических выводов, зависит от α , β и ζ . Впрочем, что касается ζ , то в обсуждаемых экстремальных условиях высоких плотностей и высоких температур, это среднее значение, по всей вероятности, преобладает.

Перейдём теперь к вкладу обычного вещества в плотность энергии и давление. Для экстремальных плотностей, при которых гравитационное четырёхфермионное взаимодействие становится существенным, это обычное вещество заведомо ультрапрелиativистское, так что его вклад в плотность энергии можно записать просто по соображениям размерности в виде

$$\rho = v n^{4/3}, \quad (12)$$

где v — численный множитель. Одна степень, $n^{1/3}$, в правой части (12) — оценка средней энергии частицы. Другой множитель n в правой части (12) — полная

плотность ультрарелятивистских частиц и античастиц, фермионов и бозонов. Поскольку бозоны также дают вклад в полную плотность энергии, этот множитель должен превышать плотность фермионов n , входящую в прежние четырёхфермионные выражения. Эта разность, однако, учтена в (12) множителем v . Так же как и в случае с ρ_{ff} , естественно предположить, что ρ не зависит от спиновых корреляций.

Обратимся теперь к тензору энергии-импульса обычного ультрарелятивистского вещества. Поскольку наша задача изотропна, смешанные компоненты ТЭИ должны обращаться в нуль:

$$T_{0m} = T_{m0} = 0, \quad m = 1, 2, 3.$$

Далее, пространственные компоненты ТЭИ можно диагонализовать, так что вследствие всей той же изотропии мы приходим к

$$T_{11} = T_{22} = T_{33}.$$

Наконец, след ТЭИ ультрарелятивистского вещества должен обратиться в нуль, $T_{\mu}^{\mu} = 0$. Таким образом, обсуждаемый ТЭИ записывается в виде

$$\begin{aligned} T_{\nu}^{\mu} &= \rho \operatorname{diag}\left(1, -\frac{1}{3}, -\frac{1}{3}, -\frac{1}{3}\right), \\ \text{или } T_{\mu\nu} &= \rho \operatorname{diag}\left(1, \frac{1}{3}, \frac{1}{3}, \frac{1}{3}\right). \end{aligned} \quad (13)$$

Здесь и ниже ρ — плотность энергии обычного ультрарелятивистского вещества; давление p этого вещества равно $\rho/3$.

При $\rho_{ff} \sim Gn^2$, т.е. на масштабе, близком к планковскому, гравитационное четырёхфермионное взаимодействие становится сравнимым с $\rho \sim n^{4/3}$, так что на этом масштабе оба вклада должны учитываться совместно. К сожалению, в наших прежних работах на эту тему вклад обычного ультрарелятивистского вещества не рассматривался.

3. Уравнения Фридмана – Леметра – Робертсона – Уокера

Мы предполагаем, что даже на масштабах, близких к планковскому, Вселенная остаётся однородной и изотропной, так что её можно описывать метрикой Фридмана – Леметра – Робертсона – Уокера (ФЛРУ)

$$ds^2 = dt^2 - a^2(t)[dr^2 + f(r)(d\theta^2 + \sin^2 \theta d\phi^2)], \quad (14)$$

где $f(r)$ зависит от топологии Вселенной в целом,

$$f(r) = r^2, \quad \sin^2 r, \quad \sinh^2 r$$

для пространственно плоской, замкнутой и открытой Вселенной соответственно.

Полная плотность энергии и полное давление таковы:

$$\rho_{tot} = \rho_{ff} + \rho, \quad p_{tot} = -\rho_{ff} + \frac{1}{3}\rho.$$

Заметим, что ρ_{ff} и ρ входят в выражение для полного давления с противоположными знаками. Этот факт обусловлен различной алгебраической структурой тензора

5*

ров T^{ff} и T . В смешанных компонентах первый из них пропорционален $\delta_{\nu}^{\mu} = \operatorname{diag}(1, 1, 1, 1)$, а второй пропорционален $\operatorname{diag}(1, -1/3, -1/3, -1/3)$.

В результате уравнения Эйнштейна для ФЛРУ-метрики (14) приобретают вид

$$\left(\frac{\dot{a}}{a}\right)^2 + \frac{k}{a^2} = \frac{8\pi G}{3} \rho_{tot} = \frac{8\pi G}{3} (\rho_{ff} + \rho), \quad (15)$$

$$\frac{\ddot{a}}{a} = -\frac{4\pi G}{3} (\rho_{tot} + 3p_{tot}) = \frac{8\pi G}{3} (\rho_{ff} - \rho). \quad (16)$$

Параметр k в уравнении (15) равен 0, 1 и -1 для пространственно плоской, замкнутой и открытой Вселенной соответственно. Эти уравнения приводят к следующему закону сохранения:

$$\dot{\rho}_{tot} + 3 \frac{\dot{a}}{a} (\rho_{tot} + p_{tot}) = \dot{\rho}_{ff} + \dot{\rho} + 4 \frac{\dot{a}}{a} \rho = 0. \quad (17)$$

Конечно, в отсутствие четырёхфермионного взаимодействия, т.е. при $\rho_{ff} = 0$, уравнение (17) сводится к хорошо известному закону для обычного ультрарелятивистского вещества: $\dot{\rho} + 4(\dot{a}/a)\rho = 0$.

С другой стороны, в отсутствие обычного вещества, т.е. при $\rho = 0$, уравнение (17) вырождается в $\dot{\rho}_{ff} = 0$. Это вполне естественно, поскольку тензор энергии-импульса (3), порождаемый четырёхфермионным взаимодействием, может сохраняться сам по себе только при условии $\rho_{ff} = \text{const}$ [12].

На самом деле наблюдательные данные свидетельствуют о том, что наша Вселенная плоская, т.е. $k = 0$. Тогда уравнение (15) упрощается до

$$\left(\frac{\dot{a}}{a}\right)^2 = \frac{8\pi G}{3} (\rho_{ff} + \rho). \quad (18)$$

Естественно полагать, что если гравитационное четырёхфермионное взаимодействие существует, то уравнения (15)–(18) так же справедливы, как и обычные уравнения ФЛРУ в отсутствие гравитационного четырёхфермионного взаимодействия.

4. Решения и выводы

Перейдём теперь к решению ФЛРУ-уравнений. При подстановке

$$a(t) = a_0 \exp f(t) \quad (19)$$

(16) и (18) преобразуются в уравнения

$$\frac{8\pi G}{3} (\rho_{ff} + \rho) = \dot{f}^2, \quad (20)$$

$$\frac{8\pi G}{3} \rho = -\frac{1}{2} \ddot{f}. \quad (21)$$

Теперь, дифференцируя уравнение (20) по t и комбинируя результат с (21), приходим к следующему решению:

$$f = -\frac{3}{4v} \varepsilon Gn^{2/3} - \frac{1}{3} \ln n, \quad (22)$$

численный множитель v был введён в соотношении (12). Стоит сделать следующее замечание, касающееся отно-

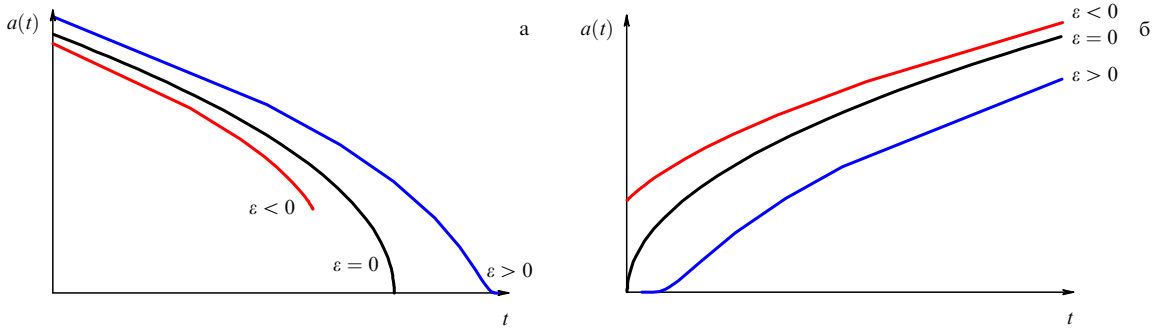


Рисунок. Зависимость масштабного фактора от времени при сжатии (а) и расширении (б).

шения $\varepsilon G/v$ в этом выражении. Легко показать, что в отсутствие четырёхфермионного взаимодействия именно соотношение $f = -(1/3) \ln n$ приводит к закону $a(t) = \sqrt{t}$. Тогда становится вполне естественным, что относительный вклад четырёхфермионного взаимодействия входит в формулу (22) через отношение $\varepsilon G/v$.

Таким образом, получаем

$$a(t) = a_0 \exp f(t) \sim n^{-1/3} \exp \left(-\frac{3}{4v} \varepsilon G n^{2/3} \right). \quad (23)$$

Введём безразмерное отношение $\xi(t)$ четырёхфермионной плотности энергии ρ_{ff} к плотности энергии ρ ультрарелятивистского вещества:

$$\xi(t) = \frac{\rho_{ff}}{\rho} = \frac{\varepsilon G}{v} n^{2/3}. \quad (24)$$

Тогда

$$a(t) \sim \frac{1}{\sqrt{\xi(t)}} \exp \left(-\frac{3}{4} \xi(t) \right). \quad (25)$$

Используя уравнения (20) и (22), мы приходим к

$$\dot{\xi} = \mp \frac{4}{3} \sqrt{\frac{8\pi G}{3}} \frac{v^{3/2}}{\varepsilon G} \xi^2 \frac{\sqrt{\xi+1}}{\xi+2/3}, \quad (26)$$

что в свою очередь приводит к следующим соотношениям между ξ и t :

$$\begin{aligned} \ln \left(\frac{\sqrt{\xi(t)}}{1 + \sqrt{1 + \xi(t)}} \right) - \frac{1}{2} \frac{\sqrt{1 + \xi(t)}}{\xi(t)} = \\ = \mp \sqrt{\frac{8\pi G}{3}} \frac{v^{3/2}}{\varepsilon G} t + \text{const} \quad \text{при } \varepsilon > 0, \end{aligned} \quad (27)$$

$$\begin{aligned} -\ln \left(\frac{\sqrt{|\xi(t)|}}{1 + \sqrt{1 - |\xi(t)|}} \right) - \frac{1}{2} \frac{\sqrt{1 - |\xi(t)|}}{|\xi(t)|} = \\ = \mp \sqrt{\frac{8\pi G}{3}} \frac{v^{3/2}}{|\varepsilon| G} t + \text{const} \quad \text{при } \varepsilon < 0. \end{aligned} \quad (28)$$

Константы в правых частях уравнений (27) и (28) определяются начальными условиями. Знаки $-$ и $+$ в формулах (26)–(28) относятся к расширению и сжатию соответственно.

Физические следствия формулы (23) для положительных и отрицательных значений параметра ε совершенно различны.

Для положительных ε оба множителя в (23), $n^{-1/3}$ и $\exp[-3/(4v) \varepsilon G n^{2/3}]$, так же как и их произведение $a(t)$,

стремятся к нулю вместе с возрастающей плотностью n . Чтобы проанализировать это сжатие, перепишем уравнения (16), (18) следующим образом:

$$\dot{a} = -\sqrt{\frac{8\pi G}{3}} a \sqrt{\rho_{ff} + \rho}, \quad (29)$$

$$\ddot{a} = \frac{8\pi G}{3} a (\rho_{ff} - \rho). \quad (30)$$

В начальный момент, когда $\rho_{ff} \ll \rho$, обе производные, \dot{a} и \ddot{a} , отрицательны, так что Вселенная сжимается с ускорением. Затем при $\rho_{ff} = \rho$ ускорение \ddot{a} меняет знак, однако \dot{a} остается отрицательным, так что сжатие Вселенной замедляется. В силу соотношений (23) и (27) a сжимается до нуля за конечное время. Благодаря экспоненциальному множителю в (23) \dot{a} и \ddot{a} также обращаются в нуль в этот момент (кривая $\varepsilon > 0$ на рис. а). Таким образом, отталкивающее гравитационное четырёхфермионное взаимодействие не останавливает коллапс, а только замедляет его скорость. Асимптотическое поведение $a(t)$ таково:

$$a(t) \sim (t_1 - t) \exp \left(-\frac{9\varepsilon^2 G}{128\pi v^3} \frac{1}{(t_1 - t)^2} \right), \quad (31)$$

здесь t_1 — момент коллапса при $\varepsilon > 0$.

При отрицательном ε ситуация иная. В этом случае правая часть уравнения (25),

$$a(t) \sim \frac{1}{\sqrt{|\xi(t)|}} \exp \left(\frac{3}{4} |\xi(t)| \right),$$

достигает своего минимального значения при $|\xi_m| = 2/3$, т.е. дальнейшее убывание $a(t)$ прекращается. Однако, как следует из (18), скорость сжатия \dot{a} в этой точке не обращается в нуль, а остается конечной (кривая $\varepsilon < 0$ на рис. а). В некотором смысле ситуация здесь напоминает имеющую место в стандартной космологии с ультрарелятивистским веществом: в ней $a(t) \sim \sqrt{t_0 - t} \rightarrow 0$ при $t \rightarrow t_0$ (t_0 — момент коллапса в данном случае), хотя в этой точке \dot{a} не обращается в нуль, а стремится к бесконечности (кривая $\varepsilon = 0$ на рис. а). В стандартной космологии мы не ожидаем, что это сжатие в точку сменится расширением. Поэтому и в нашем случае при $\varepsilon < 0$ вполне естественно принять, что сжатие не переходит в расширение.

Таким образом, вопреки возможным наивным ожиданиям [11], гравитационное четырёхфермионное взаимодействие не приводит к Большому отскоку.

В заключение заметим, что трудно представить себе реальную возможность обнаружить какой-либо эффект гравитационного четырёхфермионного взаимодействия.

Благодарности. Мы признательны В.В. Соколову за полезное обсуждение.

Работа частично поддержана Российским фондом фундаментальных исследований (грант 11-02-00792-а), Министерством образования и науки Российской Федерации и грантом Правительства Российской Федерации 11.G34.31.0047.

Список литературы

1. Kibble T W B *J. Math. Phys.* **2** 212 (1961)
2. Родичев В И *ЖЭТФ* **40** 1469 (1961) [*Rodichev V I Sov. Phys. JETP* **13** 1029 (1961)]
3. Коркин Р В, Хриплович И Б *ЖЭТФ* **122** 5 (2002) [Korkin R V, Khrilovich I B *JETP* **95** 1 (2002)]; gr-qc/0112074
4. Kerlick G D *Phys. Rev. D* **12** 3004 (1975)
5. Perez A, Rovelli C *Phys. Rev. D* **73** 044013 (2006); gr-qc/0505081
6. Magueijo J, Zlosnik T G, Kibble T W B *Phys. Rev. D* **87** 063504 (2013); arXiv:1212.0585
7. Freidel L, Minic D, Takeuchi T *Phys. Rev. D* **72** 104002 (2005); hep-th/0507253
8. Shapiro I L *Phys. Rep.* **357** 113 (2002); hep-th/0103093
9. de Berredo-Peixoto G et al. *JCAP* (06) 017 (2012); arXiv:1201.5423
10. Ландау Л Д, Лифшиц Е М *Теория поля* (М.: Наука, 1988) [Landau L D, Lifshitz E M *The Classical Theory of Fields* (Oxford: Pergamon Press, 1980)]
11. Khrilovich I B, in *Low Dimensional Physics and Gauge Principles: Matinyan's Festschrift*, World Scientific (Eds V G Gurzadyan, A Klümper, A G Sedrakyan) (Singapore: World Scientific, 2012) p. 183; arXiv:1203.5875
12. Khrilovich I B, Rudenko A S *JCAP* (11) 040 (2012); arXiv: 1210.7306

Gravitational four-fermion interaction in the early Universe

A.S. Rudenko, I.B. Khrilovich

*G.I. Budker Institute of Nuclear Physics, Siberian Branch of Russian Academy of Sciences,
prosp. Akademika Lavrent'eva 11, 630090 Novosibirsk, Russian Federation;
Novosibirsk State University
ul. Pirogova 2, 630090 Novosibirsk, Russian Federation
E-mail: a.s.rudenko@inp.nsk.su, khrilovich@inp.nsk.su*

If torsion exists, it generates gravitational four-fermion interaction (GFFI), essential on the Planck scale. We analyze the influence of this interaction on the Friedmann – Lemaitre – Robertson – Walker cosmology. Explicit analytical solution is derived for the problem where both the energy-momentum tensor generated by GFFI and the common ultrarelativistic energy-momentum tensor are included. We demonstrate that gravitational four-fermion interaction does not result in a Big Bounce.

PACS numbers: **04.20. –q, 04.62. + v, 98.80. –k**

DOI: 10.3367/UFNr.0184.201402f.0177

Bibliography — 12 references

Received 23 November 2013

Uspekhi Fizicheskikh Nauk **184** (2) 177 – 181 (2014)

Physics – Uspekhi **57** (2) (2014)